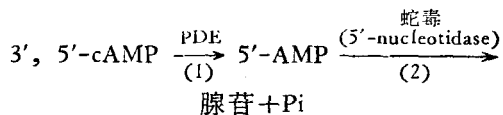


一种快速可靠的 3',5'-cAMP 磷酸二酯酶活力测定法

张林华 吴兆锋 刘秉文 蓝天鹤

(华西医科大学生物化学教研室,成都)

磷酸二酯酶 (PDE; E. C. 3. 1. 4. 17.) 催化 cAMP 分解为 5'-AMP, 它与质膜上催化 cAMP 生成的腺苷酸环化酶配合, 共同控制细胞内 cAMP 含量。因此, 观察 PDE 活力变化对于研究环腺苷酸在细胞代谢调控中的作用具有重要意义。PDE 活力测定多采用放射性同位素标记的 cAMP 为底物。由于一般粗酶样品中同时存在多种 5'-核苷酸酶, 使 5'-AMP 分解而引起误差, 因此常将经 PDE 作用后生成的 5'-AMP 转化为腺苷测定。基本反应如下。



将阴离子交换树脂直接加入反应液中, 吸附除去 cAMP 后, 离心取上清液测定腺苷的放射性, 即可代表 PDE 活性。此法称作“Batch”技术^[1]。该法简便, 应用较广, 但水溶性体积较大, cAMP 与腺苷分离不全, 空白较高。作者采用酸化树脂的方法, 调整实验条件, 避免了水溶性体积较大带来的不便, 建立了一种快速可靠的 PDE 测活方法。

一、材料与方法

1. 材料

³H-cAMP, 比放射性为 23 Ci/mmol, 放化纯度 95% (上海原子核所)。腺苷, Merck 公司

从而使可纯化的领域大为扩展。加之较传统亲和层析更优越, 而具有广阔应用前景。笔者认为, 不久这一技术将在对生物大分子结构和功能的研究中直接发挥作用。同时, 和在其它方面的应用一样, 迫切需要对 McAb 理化及特定生物学性质的深入了解, 以建立更高效、快速、适应性强及应用更广泛的亲和层析方法。

参 考 文 献

- [1] Hissey, P. H. et al.: *J. Immunol. Methods*, **78**, 211, 1985.
- [2] Updyke, T. V. and G. L. Nicolson: *ibid.*, **73**, 83, 1984.
- [3] Bird, P. et al.: *ibid.*, **71**, 97, 1984.
- [4] Nielsen, L. S. et al.: *Biochemistry*, **21**, 6410, 1982.
- [5] Le, J. et al.: *J. Immunol. Methods*, **69**, 61, 1984.
- [6] Hsiung, L. M. et al.: *Biochem. J.*, **203**, 293, 1982.
- [7] Lundblad, A. et al.: *J. Immunol. Methods*, **68**, 227, 1984.
- [8] Lindmark, R. et al.: *ibid.*, **62**, 1, 1983.
- [9] Langone, J. J.: *ibid.*, **55**, 277, 1982.
- [10] Schneider, C. et al.: *J. Biol. Chem.*, **257** (18), 10766, 1982.
- [11] Fornstedt, N.: *FEBS*, **177**(2), 195, 1984.
- [12] Perry, G. A. et al.: *Prep. Biochem.*, **14**(5), 431, 1984—85.
- [13] Bazin, H. et al.: *J. Immunol. Methods*, **71**, 9, 1984.
- [14] Stanker, L. H. et al.: *ibid.*, **76**, 157, 1985.
- [15] Steward, M. W. and A. M. Lew: *ibid.*, **78**, 173, 1985.
- [16] Jacobsen, C. et al.: *ibid.*, **50**, 77, 1982.
- [17] Cook, J. et al.: *Mol. Immunol.*, **22**(5), 531, 1985.
- [18] David, F. et al.: *ibid.*, **22**(3), 339, 1985.
- [19] Li, C. K. N.: *ibid.*, **22**(3), 321, 1985.
- [20] Friguet, B. et al.: *J. Immunol. Methods*, **77**, 305, 1985.
- [21] Tigyi, G. J. et al.: *Mol. Immunol.*, **21**(10), 889, 1984.
- [22] Randle, B. J. et al.: *J. Immunol. Methods*, **77**, 25, 1985.
- [23] Chao, J. et al.: *Biochim. Biophys. Acta*, **801**, 244, 1984.

【本文于 1985 年 4 月 17 日收到】

产品。cAMP，西德产品。蛇毒（眼镜王蛇），Sigma 公司产品。阴离子交换树脂（Dowex-1，氯型，200—400 目），Serva 公司产品。树脂经碱和酸处理后，于 40—50℃ 烘干。称取适量树脂用 3mM HAc 配制。

2. 方法

(1) PDE 粗酶的制备

大白鼠断头处死，取出所需组织（肝、脑、肌肉、肾、心、脂肪等）。称取适量，按 1/10 (W/V) 加入匀浆介质 (50mM Tris-HCl, pH7.5, 5mM MgSO₄)，在玻璃匀浆器内于冰浴中制成匀浆。离心，1,000 × g 10 分钟。取上清液，置 0—4℃ 冰箱保存，五天内活力无明显改变。

(2) PDE 活力测定

酶反应液含有 50mM Tris-HCl, pH7.5, 5mM MgSO₄, 75mM 硫基乙醇, 25μM cAMP (2 × 10⁴ cpm)，加入适量粗酶提取液，总体积

$$a. {}^3\text{H}-\text{cAMP} \text{ 水解率} = \frac{\text{样品管 cpm} - \text{对照管 cpm}}{\text{总计数管 cpm} - \text{对照管 cpm}} \times 100\%$$

$$b. \text{cAMP 百分转化率} = \frac{5 \times 10^3 \text{pmolescAMP} \times (\text{样品管 cpm} - \text{对照管 cpm})}{(\text{总计数管 cpm} - \text{对照管 cpm}) \times \text{蛋白量 (mg)} \times \text{反应时间(分)}} \times 100\%$$

二、结 果

1. 底物 ³H-cAMP 及 cAMP 对 PDE 活力的影响

将 ³H-cAMP 与 cAMP 配成在 200μl 反应液中比放射性为 1.2、2.4、4.8 × 10⁴ cpm/25μM

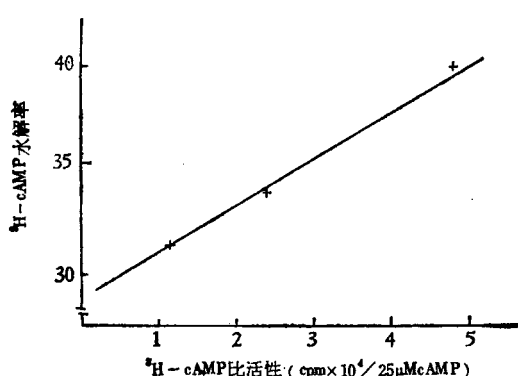


图 1 ³H-cAMP 比活性对 PDE 活力的影响
含 120μg 脑匀浆蛋白的反应液 200μl,
35℃, 10 分钟

为 200μl。另外，以加入匀浆介质代替酶液作为空白对照管。总计数管则不加酶样品而用匀浆介质补充使总体积为 400μl。上述各管于 35℃ 保温 10 分钟后置沸水浴内准确加热 1 分钟终止反应。室温自然冷却，每管加入 50μl 蛇毒 (1 mg/ml)，混匀后，继续于 35℃ 保温 15 分钟。再于沸水浴内加热 1 分钟灭活。冷却后，加入 50μl 10mM 腺苷作为载体，在电磁搅拌器上不断混匀下再加入 200μl 25% (W/V; 3mM HAc) Dowex-1 树脂糊 (总计数管不加)，置振荡器上混匀，并于 2,500rpm 离心 5 分钟。取上清液 200μl 于闪烁瓶内，加入 3ml 无水乙醇和 7ml 闪烁液 (0.4% TP 或 PPO; 0.01% POPOP 的二甲苯溶液) 于液体闪烁计数仪上计数测定。

粗酶蛋白含量按 Bradford 法^[2]测定，以牛血清白蛋白为标准。PDE 活力表示法：

cAMP, PDE 活力随之而线性增加 (见图 1)。我们选择，35℃ 保温 10 分钟，pH7.5, 200μl 反应液中 cAMP 浓度为 25μM 时，³H-cAMP 放射性为 2 × 10⁴ cpm 为宜 (仪器对 ³H 的测定效率为 65%)。

2. 酶浓度对 PDE 活力的影响

PDE 是具有复杂动力学的酶体系。本法

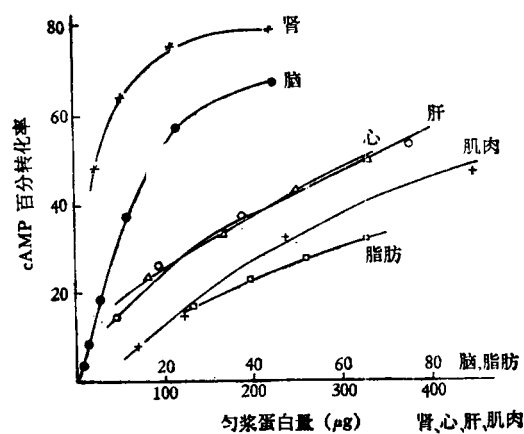


图 2 酶浓度对 PDE 活力的影响

测定的主要与膜结合存在的低 K_m 值 PDE。测定样品时，应选择“酶浓度-反应”曲线中的直线部分为合适的酶用量(见图 2)。

3. 反应时间对 PDE 活力的影响

由图 3 可见，在 0—20 分钟内，PDE 活力随反应时间增加而增加。

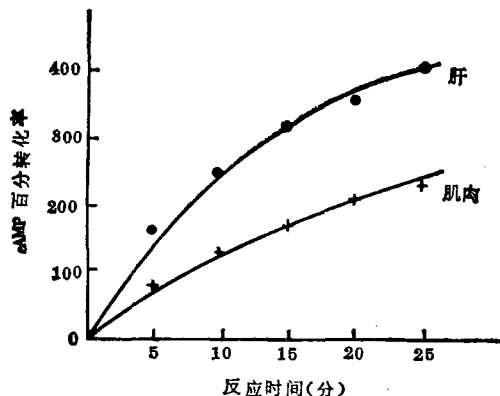


图 3 反应时间对 PDE 活力的影响

4. Dowex-1 型树脂分离 cAMP 及腺苷效果的鉴定

文献报道，用 30% 乙醇^[3]，或用 3mM HAc^[4]代替水配制阴离子交换树脂，或用 0.1M NaHCO₃ 作为阴树脂柱层析洗脱液^[5]能改善 cAMP 的分离，及腺苷和 5'-AMP 酶解产物的回收。我们实验中发现，用 3mM HAc(pH3) 配制的树脂分离 cAMP 和腺苷效果较好。利用紫外吸收和放射性测定经 25% (W/V; 3mM HAc) Dowex-1 阴树脂 200μl 处理后 cAMP 的清除及腺苷的回收情况见表 1。

表 1 Dowex-1 阴树脂分离 cAMP 和腺苷效果的鉴定*

	紫外吸收测定 (λ = 260nm)	放射性测定 (cpm)
cAMP 清除(%)	95.9±0.5(n=5)	90.0±0.1(n=7)
腺苷回收(%)	68.9±0.9(n=14)	—

* 以加入 cAMP 及腺苷后的 O.D₂₆₀ 值或 cpm 为 100% 表内数据示 $\bar{x} \pm S.D$ (测定次数)

实际测定脑匀浆 PDE 活力，³H-cAMP 水解率最大值为 77.9±1.2% (n = 14)。这说明用紫外吸收法测得的腺苷回收率与实际回收率

基本上接近。

5. 重复性

同一脑匀浆样品作 9 支平行管测定 PDE 活力，C. V. = 5.1%。间隔两天测定同一肝匀浆样品，误差为 2.2% (n = 12)。这表明，除 PDE 自身稳定外，测定方法具有良好的重复性。

三、讨 论

PDE 具有较复杂的动力学行为，以多种形式存在^[6]。Thompson 和 Appleman 等^[1]较早报道了两种即高 K_m 值 ($1 \times 10^{-4} M$) 和低 K_m 值 ($5 \times 10^{-6} M$) PDE。它们的分布、动力学性质及底物特异性不同，其作用机理及生理功能尚未阐明^[6]。在作 3', 5'-cAMP-磷酸二酯酶活力测定中，我们亦观察到在一定底物浓度时，随酶量增加，PDE 活力增加呈类似 S 型曲线变化(图 2)。

任何一种 PDE 活力测定法，都应尽量使 PDE 作用的产物全部回收；在二步保温法中，还应包括 5'-AMP 分解产物腺苷，以及肌苷、次黄嘌呤、嘌呤等的回收^[4, 5]。最初用 Batch 技术测定 PDE 活力时，腺苷回收约为 60%，空白较高^[1]。Boudreau 等^[4]用 3mM HAc(pH3.0) 配制阴树脂分离，使腺苷、肌苷等主要产物(以 O.D₂₆₀ 值计)几乎全部回收。与之相比，我们测得腺苷的回收偏低，但与实际测定 cAMP 水解率基本吻合。且操作简便快速，不需要浓缩或用特殊的水溶性高的大量闪烁液，更适于一般研究工作的需要。

关于影响回收和空白的因素，我们发现，Dowex-1 树脂用量在 20—30% (W/V; 3mM 醋酸) 200μl 时，对 cAMP 的分离和腺苷的回收较为合适。加树脂后振摇或置振荡器上 15 秒至 5 分钟对 cAMP 分离和腺苷回收无影响。文献报道，终止酶反应的方法不同会影响测定空白值。我们采用加热的方法终止酶反应，发现用 7.5 × 1cm 小试管在沸水浴内加热 45—90 秒钟，对测定结果没有明显的影响；但加热 5 分钟与 1 分钟比较，前者空白增高 13%。因此，应

一种灵敏实用的 DNase I 定量测活方法

邹国林 曹新文 史平* 朱汝璠
(武汉大学生物系)

DNase I 的测活方法有紫外吸收法^[1]、同位素法^[2]和荧光法^[3,4]等。紫外吸收法简便，但灵敏度较低。同位素法灵敏度高，但实验条件要求高，且操作复杂。荧光法灵敏度较高，也简便，但影响因素较多。我们建立了一种以固定化 DNA 为底物的微量紫外吸收法，它较简便，灵敏度也较高。

材料与方法

材料： DNase I (Seravac Laboratories 出品)，小牛胸腺 DNA (上海牛奶公司出品)，微晶纤维素(上海试剂四厂出品)，TMD 缓冲液 (50mM Tris-HCl, pH7.5, 1mM MgCl₂, 1mM DTT)，其它试剂均为分析纯。

仪器： M750UVIS-A 型微量紫外可见分光光度计。

方法：

1. 小牛胸腺 DNA-纤维素的制备 参照文献[5]。

2. DNA 结合量的测定 用紫外吸收法^[6]和二苯胺法^[7]分别测得每克纤维素上 DNA 的结合量为 13.12 毫克和 13.39 毫克，结果一致；

确定一相对较短的加热灭活时间，使空白值较低而稳定。此外，当³H-cAMP 放化纯度降低时易使空白增高，此时可用纸层析等方法纯化后使用。若用缓冲液(匀浆介质)代替加热灭活后的粗酶提取液作空白对照，二者无差别。

参考文献

[1] Thompson, W. J. and Appleman, M. M.: *Bioche-*

结合率在 93% 左右。

3. 酶单位数的测定 将 DNase I 配制成一定浓度的酶溶液，按文献[8]测定每毫升酶溶液所含的酶单位数。

4. 固定化底物的微量紫外吸收法 称取一定量的 DNA-纤维素，用 TMD 缓冲液配成 DNA 浓度为 115 微克/毫升的 DNA-纤维素悬浮液。每管取 0.5 毫升上述底物，加 0.5 毫升含 0.08% Triton X-100 的 TMD 缓冲液，振荡混匀后，4000rpm 离心 5 分钟。将上清液倾出，用滤纸条吸净残留液，加 50 微升含 0.04% Triton X-100 的 TMD 缓冲液，置于 37°C 水浴预保温，再加一定量的 DNase I，连续振荡进行酶反应。反应完毕，加 50 微升 40mM EDTA 液终止反应，4500 rpm 离心 3 分钟，取 20 微升上清液测 A₂₆₀ 值。

(a) 酶反应进程曲线绘制 除空白对照管外，每管加酶液 1.6 个酶单位(按文献[8]测定)，按不同的时间间隔终止反应。

(b) 反应速度与酶量关系曲线绘制 根据

* 本校生化专业 81 级学生。

- istry, 10, 311, 1971.
[2] Bradford, M. M.: *Anal. Biochem.*, 72, 248, 1976.
[3] Londesborough, J.: *ibid.*, 71, 623, 1976.
[4] Boudreau, R. J. and Drummon, G. I.: *ibid.*, 63, 388, 1975.
[5] Rutten, W. J. et al.: *Biochimica et Biophysica Acta*, 315, 378, 1973.
[6] Greengard, P. and Robison, G. A. (ed): *Advances in Cyclic Nucleotide Research*, Vol. 8, 119, Raven Press, New York, 1977.

[本文于 1985 年 5 月 13 日收到]